



## Research Article

Vol. 14, No. 3, 2024, p. 235-252

## Evaluation of Dielectric Spectroscopy in Fusion with Vis-SWNIR Spectroscopy for the Measurement of Sugar Concentration in Sugarcane Stalk Samples

**M. Naderi-Boldaji<sup>1\*</sup>, M. Tohidi<sup>2</sup>, M. Ghasemi-Varnamkhasti<sup>1</sup>**

1- Associate Professors, Department of Mechanical Engineering of Biosystems, Shahrekord University, Shahrekord, Iran

2- Graduated PhD Student, Department of Mechanical Engineering of Biosystems, Shahrekord University, Shahrekord, Iran

(\*- Corresponding Author Email: [naderi.mojtaba@sku.ac.ir](mailto:naderi.mojtaba@sku.ac.ir))

Received: 15 January 2023

Revised: 04 March 2023

Accepted: 18 March 2023

Available Online: 31 August 2024

**How to cite this article:**Naderi-Boldaji, M., Tohidi, M., & Ghasemi-Varnamkhasti, M. (2024). Evaluation of Dielectric Spectroscopy in Fusion with Vis-SWNIR Spectroscopy for the Measurement of Sugar Concentration in Sugarcane Stalk Samples. *Journal of Agricultural Machinery*, 14(3), 235-252. (in Persian with English abstract). <https://doi.org/10.22067/jam.2023.80620.1144>

### Introduction

The development of portable devices for real-time quality assessment of sugarcane is an essential necessity in the agricultural and industrial technology of sugarcane production and processing. Attributes of sugarcane such as sugar concentration and water content can be utilized for this purpose. Near infrared (NIR) spectroscopy has been one of the most widely applied techniques for quality evaluation of sugarcane. However, NIR spectrophotometers in the full NIR wavelength range (up to 2500 nm) are expensive devices that are not readily available for portable applications. Short-wave NIR devices in the range of 1100 nm are available at lower costs but need to be evaluated for specific applications. On the other hand, dielectric spectroscopy has attracted the attention of researchers for quality evaluation of agricultural and food products. In a previous study, a parallel-plate capacitance sensor was developed and evaluated for non-destructive measurement of sugarcane Brix (total soluble solids) and Pol (sucrose concentration) as well as water content, in the frequency range of 0-10 MHz. The results showed excellent prediction models with root mean square errors smaller than 0.3 for Brix and Pol. This study aimed to develop and evaluate a dielectric sensor that can be extended for portable measurements on standing sugarcane stalk in comparison with short-wave NIR (SWNIR) spectroscopy to address how the fusion of the two methods may improve the accuracy of models for predicting sugarcane Brix.

### Materials and Methods

A dielectric sensor in the form of a gadget was developed with metallic electrodes to encompass the sugarcane stalk samples. The dielectric sensor was excited with a sinusoidal voltage within 0-150 MHz frequency range by a function generator, and the conductive power through the electrodes was measured using a spectrum analyzer. 105 sugarcane stalk samples were prepared from seven sugarcane varieties and scanned with the dielectric sensor. The samples were also subjected to Vis-SWNIR radiation in the wavelength range of 400-1100 nm, and the reflectance spectra were captured. Reference Brix and water content of the samples were determined using a portable refractometer and oven-drying method, respectively. Regression analyses and artificial neural networks were performed on independent and combined data from dielectric and Vis-SWNIR spectroscopy to develop prediction models for Brix and water content.

### Results and Discussion

Partial least squares regression on independent data sets of each instrument resulted in  $\text{RMSE}_P = 1.14$  and



©2024 The author(s). This is an open access article distributed under [Creative Commons Attribution 4.0 International License \(CC BY 4.0\)](#).

<https://doi.org/10.22067/jam.2023.80620.1144>

$\text{RMSE}_P = 1.88$  for Brix using Vis-SWNIR and dielectric spectroscopy, respectively. Moreover, data fusion of dielectric and Vis-SWNIR spectroscopy at a low level for the prediction of Brix significantly improved the prediction accuracy to  $R^2_P = 0.94$  and  $\text{RMSE}_P = 0.74$ . The medium-level data fusion resulted in  $R^2_P = 0.89$  and  $\text{RMSE}_P = 0.93$  for prediction of water content.

## Conclusion

In this study, the accuracy of using Vis-SWNIR and dielectric spectroscopy data for predicting Brix and water content in sugarcane stalk samples was evaluated. To develop the prediction models, partial least squares (PLS) regression and artificial neural network (ANN) were compared. First, the prediction models were developed based on Vis-SWNIR and dielectric spectroscopy independently. Then, the two techniques were fused and the improvement in the prediction accuracy was investigated. Fusing the two methods at an intermediate level lowered the RMSE of Brix to 0.74, showing noticeable improvement compared to previous studies. Based on the achieved results, developing a fusion probe for SWNIR and dielectric spectroscopy and designing the measuring system could be the aim of future studies for in-situ evaluation of sugarcane quality parameters. Due to the importance of sugarcane quality evaluation, during growth and maturity, the results of this study can have a significant role in the development of a portable device that combines NIR and dielectric spectroscopy methods for fast and non-destructive evaluation of sugarcane quality parameters.

## Acknowledgement

This article was extracted from a research project financially supported by the Research deputy of Shahrekord University. The grant number was 0GRD34M1614. The authors would like to appreciate the support of the Amir-Kabir Sugarcane Agro-Industry Co., Khuzestan, Iran for providing the sugarcane stalk samples.

**Keywords:** Brix, Data fusion, Dielectric spectroscopy, Sugarcane, Visible-Near infrared spectroscopy

## مقاله پژوهشی

جلد ۱۴، شماره ۳، پاییز ۱۴۰۳، ص ۲۵۲-۲۳۵

## ارزیابی روش طیف‌سنجی دی‌الکتریک در تلفیق با روش طیف‌سنجی Vis-SWNIR برای اندازه‌گیری غلظت قند روی نمونه ساقه نیشکر

**مجتبی نادری بلداجی<sup>۱\*</sup>، مجتبی توحیدی<sup>۲</sup>، مهدی قاسمی و رنامخواستی<sup>۱</sup>**

تاریخ دریافت: ۱۴۰۱/۱۰/۲۵

تاریخ پذیرش: ۱۴۰۱/۱۲/۲۷

**چکیده**

توسعه ابزارهای اندازه‌گیری سریع برای ارزیابی خصوصیات کیفی نیشکر شامل غلظت قند و محتوای رطوبت بدون نیاز به استخراج عصاره از ساقه از جمله ضرورت‌های فناوری در کشاورزی و صنعت این محصول می‌باشد. در این پژوهش، یک پرای دی‌الکتریک با قابلیت توسعه و به کارگیری به شکل قابل حمل توسعه داده شد و عملکرد آن برای اندازه‌گیری غلظت قند (بر حسب درجه بریکس) و محتوای رطوبت روی نمونه‌های ساقه از هفت رقم نیشکر در بازه فرکانسی ۱۵۰ MHz مورد ارزیابی قرار گرفت. همچنین به منظور مقایسه و بهبود دقت اندازه‌گیری غلظت قند، توانایی روش طیف‌سنجی مرئی-فروسرخ نزدیک موج کوتاه (Vis-SWNIR) در محدوده طول موج ۱۱۰۰-۴۰۰ نانومتر بررسی شد. از مدل‌های رگرسیون حداقل مربعات جزئی (PLS) و شبکه‌های عصبی مصنوعی (ANN) برای پیش‌بینی درجه بریکس و محتوای رطوبت نمونه‌ها استفاده شد. علاوه بر ارزیابی مستقل عملکرد هر دو روش در بهترین حالت با  $RMSE_p = 1/14$  و  $RMSE_p = 1/8$  برای اندازه‌گیری بریکس بهتریب با روش‌های طیف‌سنجی Vis-SWNIR و دی‌الکتریک، روش‌های تلفیق داده (سطح پایین و سطح متوسط) برای استفاده از اثر هم‌افزای اطلاعات به دست آمده از دو روش به کار گرفته شد. در پیش‌بینی بریکس، بهترین نتیجه مربوط به روش تلفیق داده سطح پایین با  $R^2_p = 0.94$  و  $RMSE_p = 0.74$  بود. همچنین روش تلفیق داده سطح متوسط با  $R^2_p = 0.93$  و  $RMSE_p = 0.81$  بهترین نتیجه را در پیش‌گویی مقادیر محتوای رطوبت داشت. بنابراین، رویکرد تلفیق داده به طور موثر دقت پیش‌بینی مدل‌های توصیف‌کننده را بهبود بخشدید و می‌تواند به عنوان روش و ابزاری قابل‌اعتماد در اندازه‌گیری خصوصیات کیفی نیشکر مورد استفاده قرار گیرد.

**واژه‌های کلیدی:** تلفیق داده، درجه بریکس، طیف‌سنجی دی‌الکتریک، طیف‌سنجی مرئی-فروسرخ نزدیک، نیشکر**مقدمه**

شکر یکی از مهم‌ترین مواد غذایی مورد نیاز انسان است که در بدن تولید انرژی می‌کند. تقریباً ۶۰ درصد قند تولیدی دنیا از نیشکر و مابقی از چندرقد تهیه می‌شود. در بین ۱۱۸ کشور تولید کننده شکر، تنها ۹ کشور از جمله ایران از نیشکر و چندرقد، ۳۸ کشور به تنها ای از چندرقد و ۷۱ کشور فقط از نیشکر، شکر تولید می‌کنند. لذا

واستگی جهانی در حدود ۷۵٪ به نیشکر و ۲۵٪ به چندرقد است. نیشکر با پتانسیل تولید تا ۱۲۰ تن نی در هکتار و بیش از ۶۰ میلیون کیلوکالری تولید انرژی در هکتار، بخش عمده‌ای از انرژی غذای مردم جهان را تأمین می‌کند (FAO, 2021). اجزای تشکیل‌دهنده عصاره خام نیشکر بسته به رقم و اقلیم متغیر است و عموماً شامل ۶۹-۷۵ درصد آب، ۸-۱۶ درصد ساکاروز، ۰/۵-۲ درصد قندهای احیاکننده ۳-۵ درصد فیر، ۰/۵-۱ درصد ترکیبات غیرآلی، ۰/۵-۱ درصد مواد نیتروژن‌دار و ۰/۵-۱ درصد سایر مواد آلی است (Lal Mathur, 1990). این گیاه یکی از محصولات مهم زراعی کشور می‌باشد و در دهه اخیر به جایگاه مناسبی از نظر سطح زیر کشت و همچنین رشد عملکرد محصول دست یافته است، به گونه‌ای که در سال زراعی ۹۶-۹۷ سطح زیر کشت نیشکر در

۱- دانشیار گروه مهندسی مکانیک بیوسیستم، دانشگاه شهرکرد، شهرکرد، ایران

۲- دانش‌آموخته دکتری، گروه مهندسی مکانیک بیوسیستم، دانشگاه شهرکرد، شهرکرد، ایران

(\*- نویسنده مسئول: (Email: [naderi.mojtaba@sku.ac.ir](mailto:naderi.mojtaba@sku.ac.ir)) DOI: <https://doi.org/10.22067/jam.2023.80620.1144>

(Mohtasebi, Masoodi, Rafiei, & Aravanian, 2010)، سیب (Bobelyn et al., 2010)، نیش (Chiatrakul, Terdwongworakul, Phuangsombut, & Phuangsombut, 2022; Nawi et al., 2012; Nawi et al., 2013)، لیموشیرین (Magwaza et al., 2013) پرتفال (Goodarzi, Movahhed, Shakouri, & Ahmadi Chenarbon, ) (Bahrami, Honarvar, Ansari, & Jamshidi, 2022)، چند رقند (Gaci et al., 2022; Pan, Zhu, Lu, & McGrath, 2015 2022؛ و گلابی (Choi, Chen, Lee, & Yim, 2017) انجام شده است. با این حال به کارگیری این روش در محدوده کامل طیف فروسرخ نزدیک (تا ۲۵۰۰ نانومتر) به دلیل هزینه بالای دستگاه طیفسنج و عدم سهولت دسترسی به آن موجب محدودیت‌هایی شده که توجه محققین را برای ارزیابی توانایی محدوده مرئی- نزدیک فروسرخ موج کوتاه Vis-SWNIR تا طول موج ۱۱۰۰ نانومتر) برای اندازه‌گیری خصوصیات کیفی مواد غذایی و کشاورزی به خود جلب نموده است چرا که طیفسنج های در این محدوده طیفی با قیمت نسبتاً ارزان در داخل کشور نیز تولید می‌شوند.

همچنین در مطالعات متعددی کارابی روش طیفسنجی دی‌الکتریک برای سنجش کیفیت مواد غذایی و کشاورزی از جمله Garcia, Torres, De Blas, De Francisco, & عصاره انگور (Illanes, 2004)، خربزه (Guo, Nelson, Trabelsi, & Kays, 2004)، کیفیت گوشت (Aldeza, Botella, Toldr, & Fito, 2007)، محتواه قند در عسل (Guo, Zhu, Liu, & Zhuang, 2010)، سیبیگی موز (Soltani, Alimardani, & Omid, 2011)، رسدگی زیتون (Naderi-Boldaji et al., 2015)، کیفیت روغن زیتون (Fazayeli, 2018) نیشکر (Kamgar, Nassiri, Fazayeli, & Guardia, 2019) بررسی شده است. روش دی‌الکتریک یک روش ساده و ارزان قیمت با قابلیت اندازه‌گیری به شکل غیرمخرب می‌باشد که امکان توسعه و به کارگیری آن نسبت به روش NIR به مرتب آسان‌تر است. طیفسنجی دی‌الکتریک بیانگر سنجش روند تغییرات مشخصه‌های دی‌الکتریک ماده تابعی از فرکانس میدان الکتریکی حسگر است که به شکل طیف‌های دی‌الکتریک مورد تحلیل قرار می‌گیرد (Blakey & Morales-Parera, 2016; Nelson, 2004; Skierucha, Wilczek, & Szypowska, 2012). نادری بلجاجی و همکاران (Naderi-Boldaji et al. 2015) با استفاده از روش طیفسنجی دی‌الکتریک و به کارگیری یک حسگر خازنی صفحه موازی امکان اندازه‌گیری محتواه قند ساقه چهار رقم مختلف نیشکر را بررسی کردند. نتایج حاکی از دقت بسیار مطلوب این روش برای اندازه‌گیری درجه برقیس، درجه پل (ساکاروز) و محتواه رطوبت ساقه به شکل

کشور ۸/۳ هزار هکتار و میانگین عملکرد آن به حدود ۵۸ تن در هکتار رسید (Anonymous, 2018). استان خوزستان با سهم تولید ۹۷ درصد از کل نیشکر کشور به عنوان قطب تولید نیشکر ایران شاخته شده است. وجود ۱۲ واحد کشت و صنعت نیشکر در این استان تولید سالانه ۶۵۰ هزار تن شکر را رقم زده است.

امروزه اندازه‌گیری و پایش کیفیت علاوه بر کمیت محصولات کشاورزی از جمله چالش‌های علمی و فنی کشاورزی بوده و بیش از پیش مورد توجه محققین واقع شده است. به طور کلی، بسیاری از فن‌آوری‌های رایج در تعیین خصوصیات کیفی محصولات از جمله نیشکر برای استفاده سریع مناسب نیستند، چرا که اجرای آن‌ها نیاز به افراد با مهارت بالا و تجهیزات گران قیمت دارند. همچنین روش‌های آزمایشگاهی وقت‌گیر بوده، اغلب واسته به کاربر هستند و شامل استفاده از مواد شبیه‌سازی خط‌ناراک می‌شوند. مهم‌تر از همه این‌که نیازمند مکان ثابتی می‌باشند و تنها در آزمایشگاه قابلیت اجرا دارند (Mehrotra, & Siesler, 2003). به عنوان مثال، روش آزمایشگاهی پلاریمتری برای اندازه‌گیری غلظت قند در نیشکر یا چند رقند نیاز به آماده‌سازی نمونه‌های عصاره قبل از اندازه‌گیری ساکاروز دارد و اغلب با سطوح بالایی از آلودگی با موادی مانند استرات سرب همراه است (Magalhaes & Cerri, 2007). در همه روش‌های مزرعه‌ای (به جز برخی روش‌های غیرمخرب در حال پژوهش) که تاکنون برای عیارسنجی نیشکر به کار گرفته شده‌اند، ابتدا لازم است که ساقه نیشکر له شده و از عصاره آن برای تعیین عیار قند استفاده شود. از طرفی ارزش‌گذاری اقتصادی نیشکر در ورودی کارخانه‌های قند براساس شاخص‌های کیفی نیشکر از جمله عیار (غلظت) قند صورت می‌گیرد که نیازمند توسعه ابزارهای اندازه‌گیری سریع با قابلیت اندازه‌گیری غیرمخرب بر روی ساقه بدین منظور است.

از جمله روش‌های غیرمخرب استفاده شده به‌منظور ارزیابی کیفیت محصولات کشاورزی می‌توان به روش‌های طیفسنجی دی‌الکتریک، طیفسنجی فروسرخ نزدیک، طیفسنجی رامان، ماشین بینایی و روش‌های صوتی و فرماحتوی اشاره نمود که هر یک برای اندازه‌گیری پارامتر کیفی خاصی به کار گرفته شده‌اند (Augusto & Filho, 2009; Cole, Eggleston, Gilbert, & Chung, 2016; Mireei, Bagheri, Sadeghi, & Shahraki, 2016; Naderi-Boldaji, Fazelian-Dehkordi, Mireei, & Ghasemi-Varnamkhasti, 2015; Nawi, Chen, Jensen, & Mehdizadeh, 2013; Nawi, Jensen, & Chen, 2012; Xiaobo, Jiewen, Xingyi, & Yanxiao, 2007). در میان روش‌های مذکور روش طیفسنجی مرئی- فروسرخ (Vis-NIR) به علت دقت بالا و امکان اندازه‌گیری همزمان خصوصیات کیفی ماده مورد توجه بیشتری قرار گرفته است (Pandiselvam et al., 2022; Sirisomboon, 2018). در سال‌های اخیر پژوهش‌های زیادی با استفاده از این روش برای سنجش پارامترهای کیفی محصولات مختلف از جمله خرما (Mireei,

۱۲ ساعت در محل آزمایش نگهداری شد تا به دمای محیط برسند. برای انجام آزمایش‌ها از قسمت میانی بین گرههای روی ساقه، تعداد ۱۰۵ نمونه ۱۰ سانتی‌متری از ارقام مختلف تهیه شد. هر نمونه به دو قطعه ۵ سانتی‌متری جفت شده بربیده شد که نیمی از آن برای اندازه‌گیری با حسگرها و سپس خشکاندن در آون برای اندازه‌گیری محتوای رطوبت و نیم جفت شده برای اندازه‌گیری مرجع غلظت قند در مورد استفاده قرار گرفت. با توجه به تغییرات شدید غلظت قند در امتداد طول ساقه نیشکر، به‌منظور افزایش گستره تغییرات محتوای قند، نمونه‌ها از قسمت‌های مختلف سر، وسط و پایین ساقه تهیه شدند. قطر نمونه‌ها توسط کولیس با دقت ۰/۰۱ میلی‌متر و جرم مطروب آن‌ها توسط ترازوی دیجیتال با دقت ۰/۰۱ گرم اندازه‌گیری و ثبت گردید.

### طیف‌سنجدی دی‌الکتریک

به‌منظور اندازه‌گیری‌های دی‌الکتریک، پرابی به شکل یک انبر ساخته شد (شکل ۱-الف). این حسگر جهت امکان اندازه‌گیری سریع بر روی ساقه مشکل از دو الکتروود نصب شده در دهانه انبر می‌باشد. الکترودهای خازن از ورق آلمینیوم مستطیل شکل با ابعاد ۱/۵×۲ سانتی‌متر در مقابل هم نصب شدند. فاصله دهانه انبر قابل تغییر و به شکل فنری برگشت‌پذیر می‌باشد به‌نحوی که می‌توان اندازه‌گیری بر روی ساقه‌ها با ضخامت‌های مختلف را اجرا نمود. الکترودهای خازن از طریق کابل کواکسیال با امپدانس مشخصه  $\Omega$  ۵۰ از یک طرف به دستگاه مولد سیگنال (Ag-4151، Owon, Hong Kong) با دامنه فرکانسی ۰-۱۵۰ مکااهرتز و از طرف دیگر به دستگاه تحلیل‌گر طیف (GSP-827، GW Instek, Taiwan) متصل شد. شکل ۱-ب اجزا و نحوه اتصال در سامانه اندازه‌گیری را نشان می‌دهد. روش اندازه‌گیری مورداستفاده در این پژوهش طیف‌سنجدی توان دی‌الکتریک نام‌گذاری شد که اساساً هدایت خازنی جریان الکتریکی از طریق ماده دی‌الکتریک را اندازه‌گیری می‌کند که تحت تأثیر تغییرات موجود در مشخصه‌های دی‌الکتریک ماده قرار می‌گیرد (Naderi et al., 2015). استفاده از این روش با ترکیب مولد سیگنال (Boldaji et al., 2015) گزارش شده است. مشخصات دی‌الکتریک ماده شامل ضریب دی‌الکتریک ( $\epsilon'$ ) و فاکتور افت ( $\epsilon''$ ) می‌باشد که ضریب دی‌الکتریک بیانگر جذب انرژی میدان الکتریکی خارجی توسط دو قطبی‌های موجود در ماده با مکانیزم پلاریزاسیون و فاکتور افت بیانگر میزان تبدیل انرژی الکتریکی به حرارت در ماده می‌باشد. اندازه‌گیری مستقل مشخصه‌های دی‌الکتریک ماده نیازمند دستگاه‌های تحلیل‌گر برداری شبکه یا

غیرمخرب بود. لذا توسعه یک پراب دی‌الکتریک با قابلیت توسعه و به‌کارگیری به شکل قابل حمل و امكان تغییر فاصله بین الکترودها جهت اطباق با ساقه ارقام مختلف نیشکر با قطرهای متفاوت و اندازه‌گیری‌های مزروعه‌ای مدنظر قرار گرفت.

تلفیق روش‌های اندازه‌گیری مختلف<sup>۱</sup> می‌تواند در افزایش دقت اندازه‌گیری مشخصه‌های کیفی محصولات کشاورزی تاثیر به‌سزایی داشته باشد. به‌طور کلی تلفیق داده‌های دو یا چند حسگر به‌خصوص زمانی که حسگرها اثرات متقابل متفاوتی با ماده ایجاد نمایند می‌تواند نسبت به حالت استفاده از یک حسگر، اطلاعات دقیق‌تری از ماده Korel, Luzuriaga, & Balaban, 2001 فراهم کرده و منجر به نتایج بهتری شود (). تاکنون تحقیقی در زمینه‌ای استفاده تلفیقی از دو روش طیف‌سنجدی دی‌الکتریک و طیف‌سنجدی Vis-SWNIR برای اندازه‌گیری محتوای قند ساقه نیشکر بدون استخراج عصاره از ساقه گزارش نشده است. اندازه‌گیری با حسگر دی‌الکتریک بر پایه اثر متقابل یک میدان الکتریکی با ماده و با روش طیف‌سنجدی فروسرخ بر پایه جذب انرژی از طیف الکترومغناطیس می‌باشد. لذا انتظار می‌رود تلفیق دو روش بتواند اطلاعات مکملی از دو اثر متقابل با ماده را در اندازه‌گیری دقیق‌تر مشخصات کیفی نیشکر ایجاد نماید. بنابراین اهداف این پژوهش عبارتند از: ۱- توسعه و ارزیابی یک حسگر دی‌الکتریک با قابلیت توسعه و به‌کارگیری برای اندازه‌گیری مزروعه‌ای ساقه نیشکر به شکل غیرمخرب، ۲- ارزیابی روش طیف‌سنجدی Vis-SWNIR در اندازه‌گیری مشخصه‌های کیفی ساقه نیشکر و ۳- ارزیابی تلفیق دو روش غیرمخرب طیف‌سنجدی دی‌الکتریک و طیف‌سنجدی Vis/WSIR در بهبود دقت اندازه‌گیری غلظت قند و محتوای رطوبت ساقه.

## مواد و روش‌ها

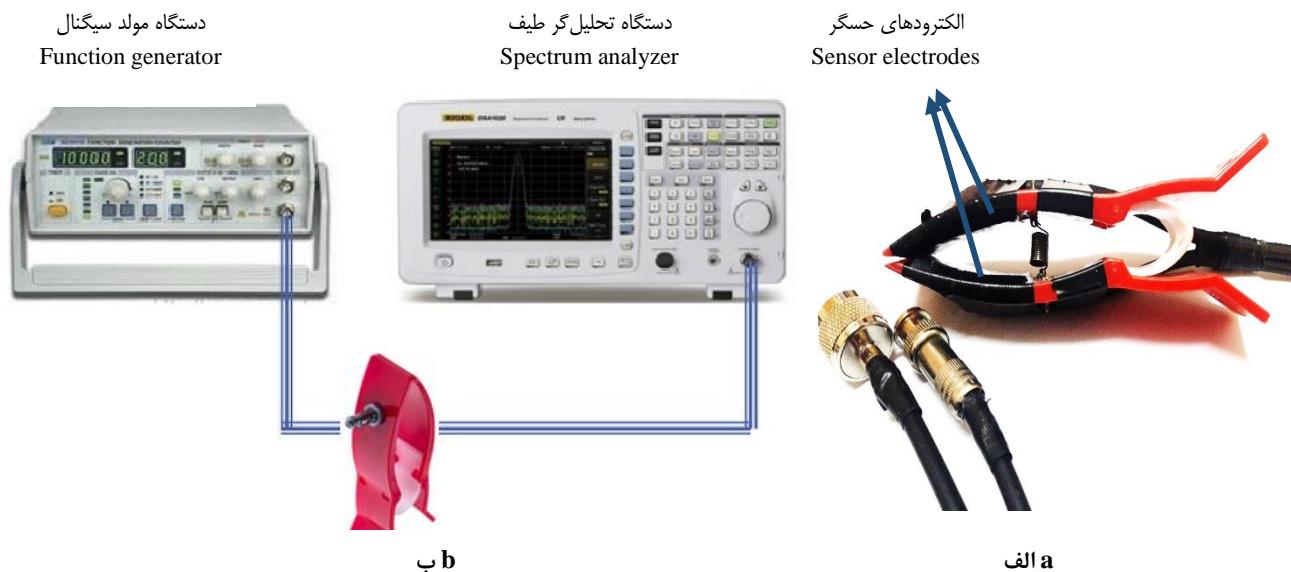
### تهیه نمونه‌ها

در این مطالعه، نمونه‌های نیشکر رسیده در اواخر فصل پاییز از مزارع نیشکر واحد کشت و صنعت امیرکبیر استان خوزستان تهیه شد. نمونه‌ها از هفت رقم تجاری CP-48، CP-57، CP-69، CP-70، CP-73 و IRC-9902، IRC-9903 انتخاب شدند. به‌منظور پوشش گسترده‌ای از تغییرات غلظت قند، نمونه‌ها به صورت تصادفی از نقاط مختلف چند مزروعه تهیه و در کوتاه‌ترین زمان ممکن به محل اندازه‌گیری در دانشگاه شهرکرد منتقل شدند. نمونه‌ها تا زمان اندازه‌گیری برای جلوگیری از فساد و از دستدادن رطوبت در یخچال با دمای ۴ درجه سلسیوس نگهداری شدند. پیش از شروع اندازه‌گیری برای هر رقم، به‌منظور برقراری شرایط تعادل دمایی، نمونه‌ها به مدت

1- Sensor fusion

برای اندازه‌گیری نمونه‌ها، توان دیالکتریک در محدوده فرکانس بین ۱۵۰-۰ MHz اندازه‌گیری و با استفاده از نرمافزار الحاقی دستگاه تحلیل گر طیف ثبت شد. با توجه به عدم امکان جاروب فرکانس به شکل پیوسته، فرکانس‌ها به شکل دستی در ۸۹ MHz (با فاصله ۵/۰ MHz در محدوده ۱۰-۰ MHz) و با فاصله ۲ بین ۱۵۰-۰ MHz تنظیم شد و اندازه‌گیری توان در هر فرکانس جداگانه انجام شد.

تحلیل گر امپدانس می‌باشد که دستگاه‌های بسیار گران قیمت بوده و به سادگی در دسترس نمی‌باشند. لذا روش مورد استفاده در این مطالعه اثر خصوصیات دیالکتریک را با پارامتر توان دیالکتریک تابعی از فرکانس تغذیه به شکل طیف‌های توان در اختیار قرار می‌دهد. توانایی این روش در مطالعات متعدد قبلی مورد ارزیابی و تایید قرار گرفته است (Ghasemi-Varnamkhasti, Ghatreh-Samani, Naderi-Boldaji, Forina, & Bonyadian, 2017; Hoog *et al.*, 2012; Mireei *et al.*, 2016; Naderi-Boldaji *et al.*, 2018).



شکل ۱- (الف) حسگر دیالکتریک و (ب) سامانه اندازه‌گیری دیالکتریک و اجزای آن

**Fig.1.** a) The dielectric sensor and b) the dielectric measuring system and its components

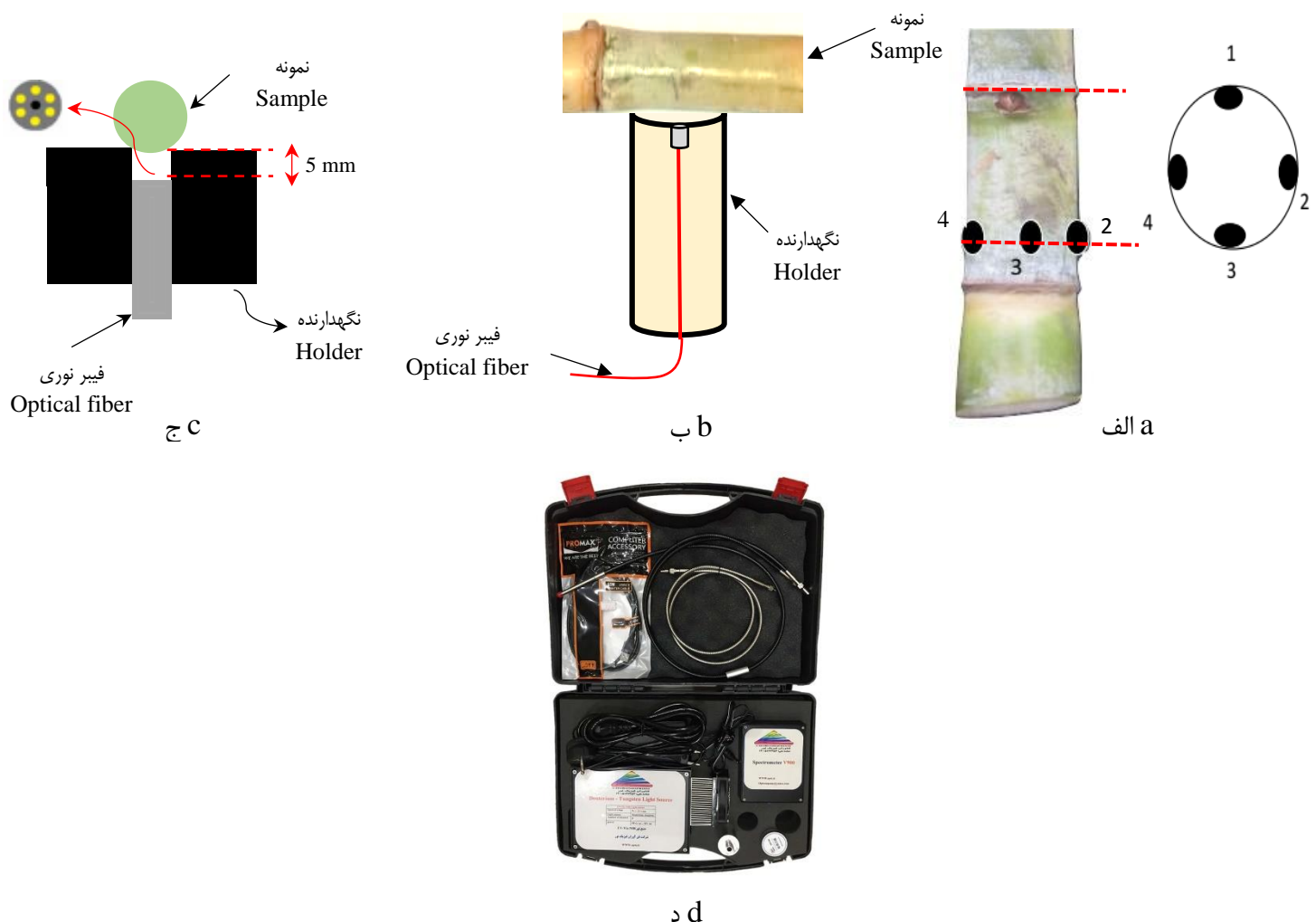
می‌شود. برای اندازه‌گیری نمونه‌های ساقه نیشکر، یک پایه تفلونی دارای سوراخی به قطر ۵ میلی‌متر در مرکز جهت عبور فیبر نوری ساخته شد (شکل ۲-ب). فاصله فیبر نوری از سطح پایه نگهدارنده نمونه در تمامی اندازه‌گیری‌ها ثابت (۵ میلی‌متر) بود به صورتی که فیبر با نمونه تماس مستقیم نداشت. با تنظیمات موجود در نرم‌افزار دستگاه، دستگاه در حالت بازتابی تنظیم شد و طیف‌های بازتابی بر حسب شدت نور ثبت شد. بر این اساس، از هر نمونه ساقه نیشکر ۴ طیف (از چهار نقطه محیطی، شکل ۲-الف) و با ۵ روش متالی (در هر نقطه) برداشت شد و میانگین آن‌ها به عنوان طیف اندازه‌گیری شده در نظر گرفته شد (شکل ۲).

### طیف‌سنجی مرئی- فروسرخ نزدیک موج کوتاه (Vis-SWNIR)

جمع آوری طیف‌های Vis-SWNIR از نمونه‌ها به روش بازتابی پراکنشی<sup>۱</sup> و با استفاده از دستگاه اسپکتروفوتومتر (مدل NIR-V900) ساخت شرکت فناوران فیزیک نور ایران انجام شد. این طیفسنج دارای آشکارساز<sup>۲</sup> CCD، محدوده طیفی ۴۰۰ تا ۱۱۰۰ نانومتر و قابلیت تفکیک طول موج ۵ نانومتر است. همچنین این دستگاه مجهز به یک کاوشگر فیبر نوری شامل ۶ فیبر نوری ۲۰۰ میکرونی مجهرز به درگاه خروجی SMA است به طوری که ۵ فیبر وظیفه انتقال نور از منبع نوری هالوژن به نمونه و یک فیبر وظیفه هدایت پرتوی برآمده از نمونه به دستگاه اسپکتروفوتومتر را انجام می‌دهد. نهایتاً طیف به دست آمده از طریق درگاه USB به رایانه منتقل و ذخیره

1- Diffuse reflectance

2- Charge-Coupled Device



شکل ۲- (الف) نقاط اندازه‌گیری روی ساقه و ب) طرح‌واره‌ی روش اندازه‌گیری طیف‌های VIS/NIR، ج) موقعیت فیبر نوری نسبت به نمونه‌ها و د) دستگاه طیف‌سنج مورد استفاده

**Fig.2.** a) The scanning points on the sugarcane stalk, b) Schematics of Vis-NIR measurement setup, c) The position of optical fiber with respect to the sample, and d) The device used for obtaining spectral data

نمونه‌ها با سه تکرار اندازه‌گیری و ثبت شد. برای تعیین محتوای رطوبت نمونه‌های ساقه نیشکر از روش خشک کردن با روش استاندارد (USDA, 1970) استفاده شد. ابتدا وزن تر نمونه‌ها با استفاده از ترازوی دیجیتال اندازه‌گیری شد. سپس نمونه‌ها به مدت ۲۴ ساعت در دستگاه آون با دمای  $10^{\circ}\text{C}$  درجه سانتی‌گراد قرار داده شد و وزن نمونه‌های خشک شده اندازه‌گیری شد. در نهایت محتوای رطوبت نمونه‌ها با استفاده از وزن تر و خشک محاسبه شد.

#### اندازه‌گیری‌های مرجع

درجه بربکس معیاری جهت تعیین میزان مواد جامد محلول است که به طور استاندارد با روش شکست نور اندازه‌گیری می‌شود. در عصاره نیشکر این معیار به عنوان یکی از شاخص‌های عیار قند اندازه‌گیری و مقایسه می‌شود. برای اندازه‌گیری درجه بربکس، ابتدا عصاره هر نمونه ساقه نیشکر با فشار مکانیکی استخراج شد و سپس با استفاده از یک دستگاه رفرکتومتر دیجیتال رومیزی (Milwaukee MA871, Hungary) با دقیقت  $0.2\text{ g}/100\text{ ml}$  درجه بربکس

اولیه هستند ایجاد شده، سپس از این مولفه‌ها برای ساختن مدل رگرسیونی استفاده می‌شود.

### شبکه‌های عصبی مصنوعی (ANN)<sup>۱۱</sup>

شبکه‌های عصبی مصنوعی مدل‌های ریاضی و انعطاف‌پذیری هستند که می‌توانند در مدل‌سازی سیستم‌های پیچیده و غیرخطی به کار بردند شوند. این شبکه‌ها قادرند با انتخاب مناسب تعداد لایه‌ها و نرون‌ها، یک نگاشت غیرخطی بین ورودی‌ها و خروجی‌ها ارائه دهند. لایه‌یا لایه‌های مخفی، اطلاعات کسب شده از لایه ورودی را پردازش کرده و در اختیار لایه خروجی می‌دهد. در این تحقیق از دو نوع شبکه عصبی پرسپترون چندلایه (MLP) و شبکه آبشاری پس‌انتشار پیشرو (CFBP) استفاده شد. شبکه عصبی CFBP نیز مانند MLP از الگوریتم پس‌انتشار خطأ برای اصلاح وزن‌ها استفاده می‌کند ولی خصوصیت اصلی شبکه مذکور این است که نرون‌های هر لایه به همه نرون‌های لایه‌های قبل متصل است. برای آموزش و بهنگام‌سازی وزن‌های شبکه‌های مورد استفاده از روش‌های آموزش گرادیان نزولی (GD) و لونبرگ-مارکوارت (LM) استفاده شد. بهترینتابع فعال‌سازی، الگوریتم آموزشی و تعداد نرون به صورت سعی و خطا تعیین گردید.

### روش‌های تلفیق داده<sup>۱۲</sup>

تکنیک‌های تلفیق داده، ابزاری مهم است که می‌تواند عملکرد یک سیستم تشخیصی که از چندین حسگر مختلف تشکیل شده است را بهبود بخشد. در واقع در تلفیق داده، اطلاعات مربوط به پایگاه‌های داده چند حسگر (منابع مختلف اطلاعاتی) با یکدیگر تلفیق شده و نتایج بر اساس داده‌های جدید استخراج می‌شود (Luzuriaga, 1999). به طور کلی روش‌های تلفیق داده را می‌توان در سه سطح طبقه‌بندی کرد، تلفیق سطح پایین (LLF)<sup>۱۳</sup>، سطح متوسط (ILF)<sup>۱۴</sup> سطح بالا (HLF)<sup>۱۵</sup> (Korel et al., 2001). در تلفیق سطح پایین داده‌های همه منابع اطلاعاتی به سادگی پیش از ساخت مدل به هم اضافه می‌شوند (Castanedo, 2013; Rudnitskaya et al., 2006). بنابراین در ماتریس داده ایجاد شده با این روش، تعداد ردیف‌ها برابر با تعداد نمونه‌ها و تعداد ستون‌ها برابر با تعداد سیگنال‌های کلیه منابع است (شکل ۳).

- 11- Artificial Neural Network
- 12- Cascade forward back propagation
- 13- Data Fusion
- 14- Low-Level fusion
- 15- Intermediate-Level Fusion
- 16- High-Level Fusion

### تحلیل داده‌ها

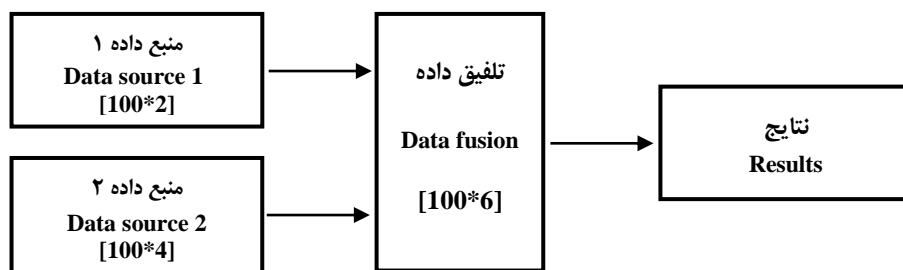
#### پیش‌پردازش داده‌ها

داده‌های خام طیفسنج Vis-SWNIR معمولاً شامل اطلاعات غیرمغایری است که در اثر عواملی مانند اثر پراکنش نور، ناهمواری‌های سطحی نمونه، تغییر در اندازه نمونه، نویز حرارتی آشکارساز طیفسنج ایجاد می‌شود. اطلاعات غیرمغایر ممکن است تاثیر نامطلوب در نتایج حاصل از پردازش اطلاعات بگذارد. بنابراین به منظور حذف این اطلاعات باید قبل از تدوین مدل‌های کالیبراسیون، عملیات پیش‌پردازش بر روی داده‌ها انجام شود. برای پیش‌پردازش داده‌ها معمولاً از روش‌های مختلف هموارسازی<sup>۱</sup>، نرم‌السازی<sup>۲</sup> و افزایش قدرت تفکیک طیف<sup>۳</sup> استفاده می‌شود (Heise & Winzen, 2006; Moomkesh et al., 2017) در این پژوهش از روش‌های میانگین متحرک (MA)<sup>۴</sup>، ساویتسکی-گولاوی (SG)<sup>۵</sup>، تصحیح خط پایه (BC)<sup>۶</sup>، تصحیح پراکنش افزاینده (MSC)<sup>۷</sup>، متغیر نرم‌الاستنادار (SNV)<sup>۸</sup>، مشتق اول (D1) و ترکیبی از این روش‌ها استفاده شد. MA و SG از روش‌های هموارسازی هستند که به منظور حذف نویزهای تصادفی استفاده می‌شوند. BC، MSC و SNV از روش‌های نرم‌السازی هستند که برای تصحیح اثرات جمعی و افزاینده انحراف ناشی از عوامل فیزیکی مانند اندازه نمونه، پراکنش غیریکنواخت در طیف و ضریب شکست نور کاربرد دارند. از مشتق اول نیز برای افزایش قدرت تفکیکی طیف‌ها استفاده می‌شود که به این منظور ابتدا باید طیف‌ها هموار شوند. در این پژوهش از روش SG قبل از مشتق‌گیری استفاده شد (Jamshidi, Minaei, Mohajerani, & Ghassemian, 2014; Fu, Ying, Lu, Xu, & Yu, 2007).

### تحلیل رگرسیون حداقل مربعات جزئی (PLS)<sup>۹</sup>

روش PLS یک روش مدل‌سازی خطی است که برای ساده‌سازی روابط میان متغیرهای مستقل (در اینجا داده‌های طیف‌های Vis/SWNIR و دی‌الکتریک) و متغیرهای وابسته (در اینجا بریکس و محتواهای رطوبت)، مقادیر متغیرهای مستقل را به تعداد کمی از متغیرهای پنهانی (LV<sup>۱۰</sup>) تصویر می‌کند. در واقع در این روش مولفه‌های جدید متعامدی که ترکیب خطی از متغیرهای

- 1- Smoothing
- 2- Normalizing
- 3- Spectral Resolution
- 4- Moving Average
- 5- Savitzky-Golay
- 6- Baseline Correction
- 7- Multiplicative Scatter Correction
- 8- Standard Normal Variate
- 9- Partial Least Squares
- 10- Latent variable

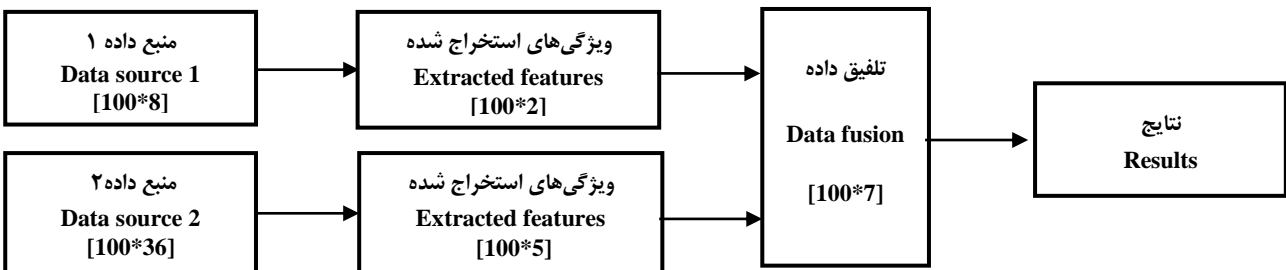


شکل ۳- طرح‌واره بلوکی روش تلفیق داده سطح پایین (LLF)

Fig.3. Block diagram of the low level data fusion model (LLF)

مدل استفاده می‌شود (شکل ۴). این روش با توجه به عملکرد مناسب و سازگاری کافی با روش‌های استخراج ویژگی، محبوبیت زیادی دارد (Borras et al., 2015).

در تلفیق داده سطح متوسط (ILF) که به عنوان تلفیق داده سطح ویژگی نیز معروف است، ابتدا برای هر منبع داده، استخراج ویژگی انجام می‌شود و سپس ترکیب ویژگی‌های استخراج شده در توسعه



شکل ۴- طرح‌واره بلوکی روش تلفیق داده سطح متوسط (ILF)

Fig.4. Block diagram of the intermediate fusion model (ILF)

برای تمامی نمونه‌ها اعتبارسنجی مدل کامل می‌شود. همچنین از دسته داده پیش‌بینی (%) از کل داده‌ها برای اعتبارسنجی نهایی مدل با نمونه‌هایی که قبلاً در آموزش مدل به کار گرفته نشده استفاده شد. از پارامترهای آماری ریشه میانگین مربعات خطای کالیبراسیون (RMSE<sub>C</sub>)، ریشه میانگین مربعات خطای اعتبارسنجی متقاطع یکانه (RMSE<sub>P</sub>) و ریشه میانگین مربعات خطای پیش‌گویی (RMSE<sub>CV</sub>) همچنین ضریب تبیین کالیبراسیون ( $R^2_{cv}$ )، ضریب تبیین اعتبارسنجی متقاطع یکانه ( $R^2_{cv}$ ) و ضریب تبیین پیش‌گویی ( $R^2_p$ ) برای مقایسه و اعتبارسنجی مدل‌ها استفاده شد. تحلیل‌های آماری این پژوهش با استفاده از نرم‌افزارهای MATLAB 8.3 (R2014a), SPSS v13 (R2014a) و Unscrambler x10.4 انجام شد.

## نتایج و بحث

### مشخصات نمونه‌ها و طیف‌های برداشت شده

جدول ۱ خلاصه‌ای از آمار توصیفی داده‌های کالیبراسیون و آزمون نمونه‌های نیشکر را نشان می‌دهد. مقادیر شاخص بریکس و

در تلفیق داده سطح بالا (HLF) داده‌های هر منبع تجزیه و تحلیل شده و پس از آن یک مدل برای هر منبع به‌طور جداگانه ساخته می‌شود. سپس نتایج حاصل از همه مدل‌ها ادغام می‌شوند (Biancolillo, Bucci, & Marini, 2014).

### ارزیابی مدل‌های پیش‌بینی

در این پژوهش برای تدوین مدل‌های پیش‌بینی، ابتدا نمونه‌ها به دو دسته کالیبراسیون و پیش‌بینی به ترتیب شامل ۷۵٪ و ۲۵٪ داده‌ها تقسیم شدند. پس از آموزش مدل کالیبراسیون، از اعتبارسنجی متقاطع کامل<sup>۱</sup> برای ارزیابی درونی مدل‌ها استفاده شد. این روش اعتبارسنجی، زمانی که تعداد نمونه‌ها کم یا متوسط است، مناسب‌ترین روش اعتبارسنجی مدل است (Jamshidi, Minaei, Mohajerani, & Ghassemian, 2012). در این روش پس از خارج کردن یک نمونه، مدل برای  $n-1$  نمونه باقی‌مانده آموزش دیده و برای پیش‌بینی نمونه کنار گذاشته شده اعتبارسنجی می‌شود. با تکرار این الگوریتم

1- Leave One-out Cross Validation

می‌باشد. همچنین نزدیکی محدوده‌های بریکس، محتوای رطوبتی و قطر نمونه‌ها در دسته‌های کالیبراسیون و آزمون، قابل اعتماد بودن طبقه‌بندی تصادفی داده‌ها برای تحلیل را نشان می‌دهد.

محتوای رطوبتی به ترتیب در محدوده ۲۲/۷-۱۲/۵ و ۸۰/۸٪-۶۵/۸٪ برای دسته کالیبراسیون و ۲۲/۴-۱۴/۳ و ۸۱/۸-۶۹٪ برای دسته آزمون می‌باشند که بیانگر تنوع و دامنه تغییرات گسترده در نمونه‌ها

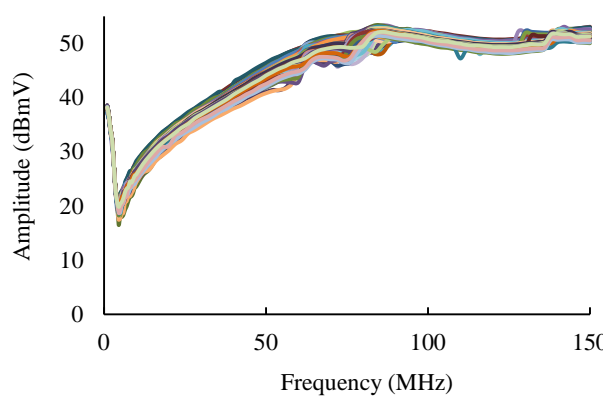
جدول ۱- آمار توصیفی نمونه‌های نیشکر

Table 1- Descriptive statistics of sugarcane stalk samples

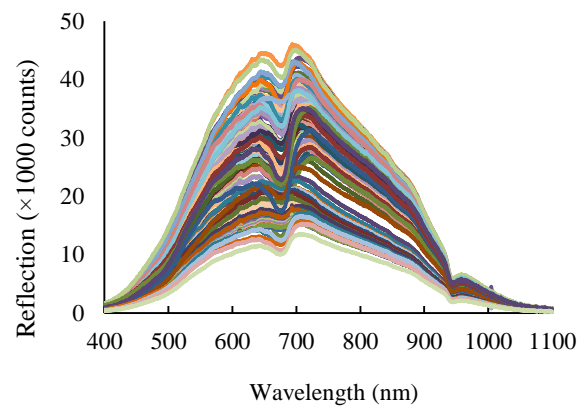
متغیر Variable	نمونه‌های کالیبراسیون (۷۹ نمونه) Calibration (79 samples)					نمونه‌های آزمون (۲۸ نمونه) Prediction (28 samples)				
	مجموعه نمونه‌ها Sample set	حداقل Min	حداکثر Max	میانگین Mean	انحراف استاندارد Standard deviation	حداقل Min	حداکثر Max	میانگین Mean	انحراف استاندارد Standard deviation	
بریکس Brix (g/100 ml)	12.5	22.7	18.2	2.36	14.3	22.4	18.3	2.37		
محتوای رطوبتی Moisture content (%)	65	80.8	74.1	2.87	69.8	81	73.8	3.11		
قطر Diameter (mm)	16.6	30.8	22.3	2.91	16.9	28.7	22.1	2.87		

طیف‌ها با افزایش میزان رطوبت و کاهش آن با افزایش غلظت قند را نشان می‌دهد. افزایش میزان رطوبت در ساقه باعث افزایش ضربی دی‌الکتریک نمونه و متعاقباً افزایش توان دی‌الکتریک حسگر می‌شود (Skierucha *et al.*, 2012; Naderi-Boldaji *et al.*, 2015). بین رطوبت و غلظت قند در ساقه نیشکر معمولاً یک همبستگی قوی منفی وجود دارد.

شکل ۵ طیف‌های حاصل از دو روش Vis-SWNIR و دی‌الکتریک را برای تمامی نمونه‌ها نشان می‌دهد. در طیف‌های Vis-SWNIR با افزایش رطوبت میزان بازتاب به‌واسطه افزایش جذب کاهش یافته است چرا که مولکول آب در باند طیفی مورد مطالعه به خصوص در طول موج‌های بزرگ‌تر از ۶۰۰ نانومتر جذب قابل توجهی دارد (Langford, McKinley, & Quickenden, 2001). در طیف‌های دی‌الکتریک نیز روند موجود افزایش دامنه



ب



الف

شکل ۵- (الف) طیف‌های بازتابی Vis-SWNIR و (ب) طیف‌های دی‌الکتریک نمونه‌های نیشکر

Fig.5. a) The reflection Vis-SWNIR spectra, and b) The dielectric spectra of the sugarcane samples

طیف‌های خام و هم با استفاده از روش‌های پیش‌پردازش مختلف بررسی شدند. مقایسه نتایج به دست آمده نشان می‌دهد که مدل سازی شاخص بریکس با استفاده از پیش‌پردازش MSC بهترین نتیجه را به همراه داشته است ( $R^2_{cv} = 0.77$ ,  $RMSE_{CV} = 1/136$ ). برای

نتایج پیش‌بینی روش طیف‌سنجی Vis-SWNIR نتایج کالیبراسیون و اعتبارسنجی درونی مدل‌های رگرسیونی PLS برای درجه بریکس و محتوای رطوبت با داده‌های طیفی-SWNIR در جدول ۲ نشان داده شده است. مدل‌ها، هم بر اساس

به پیش‌بینی بریکس سه رقم مختلف نیشکر پرداختند و با  $R^2$  و RMSE<sub>P</sub> به ترتیب  $0.89 \pm 0.051$  و  $0.91 \pm 0.041$  برای طیف جذبی و  $0.91 \pm 0.041$  و  $0.91 \pm 0.051$  برای طیف بازتابی مقادیر بریکس را پیش‌بینی نمودند. باقرپور و Bagherpour, Minaei, Abdollahian Noghabi, & همکاران (Khorasani Fardvani, 2015) در پژوهشی با استفاده از تکنیک NIR به بررسی میزان قند موجود در ریشه‌های چندرقند پرداختند. نتایج تحلیل PLS برای تخمین بریکس، بیانگر R و RMSE<sub>P</sub> به ترتیب  $0.95 \pm 0.017$  و  $0.95 \pm 0.017$  بود. مومکش و همکاران (Mireei, Sadeghi, & Nazeri, 2017) در اندازه‌گیری بریکس و محتوای رطوبت لیموشیرین با روش یکسان به ترتیب مقادیر خطای Peirs, Lam (2005) و  $0.57 \pm 0.057$  را گزارش نمودند. پیرس و همکاران (mertyn, Ooms, & Nicolai, 2001) مقدار بریکس واریته‌های مختلف سبب را با استفاده از روش طیف‌سنجی فروسرخ نزدیک مورد بررسی قرار دادند. مدل‌های PLS تدوین شده مقادیر بریکس را با  $R^2$  در محدوده  $0.73 \pm 0.089$  و خطای حدود  $0.7 \pm 0.07$  درجه بریکس پیش‌بینی نمودند.

مدل‌سازی محتوای رطوبت، بهترین نتیجه در حالت استفاده از پیش‌پردازش SNV ( $R^2_{CV} = 0.73$ ) (RMSE<sub>CV</sub> =  $0.15$ ) به دست آمد. همچنین در تدوین مدل‌ها به منظور جلوگیری از بیش یا کم‌پردازش شدن مدل، انتخاب بهترین تعداد متغیر پنهانی (LV) بر اساس انتخاب نقطه کمینه در نمودار واریانس مقادیر باقی‌مانده در برابر تعداد متغیرهای پنهانی تعیین شد (Jamshidi et al., 2012). به‌منظور صحبت‌سنجی مدل‌های حاصل، بهترین مدل‌ها با  $25\%$  از داده‌ها (داده‌های مشاهده‌نشده توسط مدل) مورد آزمون قرار گرفتند که نتایج آن در جدول ۳ گزارش شده است. همچنین شکل ۶ مقادیر پیش‌بینی شده مقدار رطوبت و بریکس مدل‌های PLS منتخب در مقابل مقادیر اندازه‌گیری شده آن‌ها نشان می‌دهد. بر این اساس خطای پیش‌بینی بریکس و محتوای رطوبت به ترتیب  $1.12\%$  و  $1.49\%$  حاصل شد که حاکی از دقت نسبتاً خوب روش طیف‌سنجی Vis-SWNIR در اندازه‌گیری مشخصه‌های کیفی نیشکر می‌باشد.

این نتایج در مقایسه با برخی مطالعات دیگر با روش اندازه‌گیری مشابه در محصولات مختلف امیدوارکننده است. ناوی و همکاران (Nawi et al., 2013) با مدل‌سازی PLS داده‌های حاصل از دو روش طیف‌سنجی جذبی و بازتابی در محدوده طیفی Vis-SWNIR

**جدول ۲**- نتایج کالیبراسیون و اعتبارسنجی درونی مدل رگرسیون PLS برای پیش‌بینی بریکس و محتوای رطوبت نیشکر با داده‌های طیفی-Vis-SWNIR

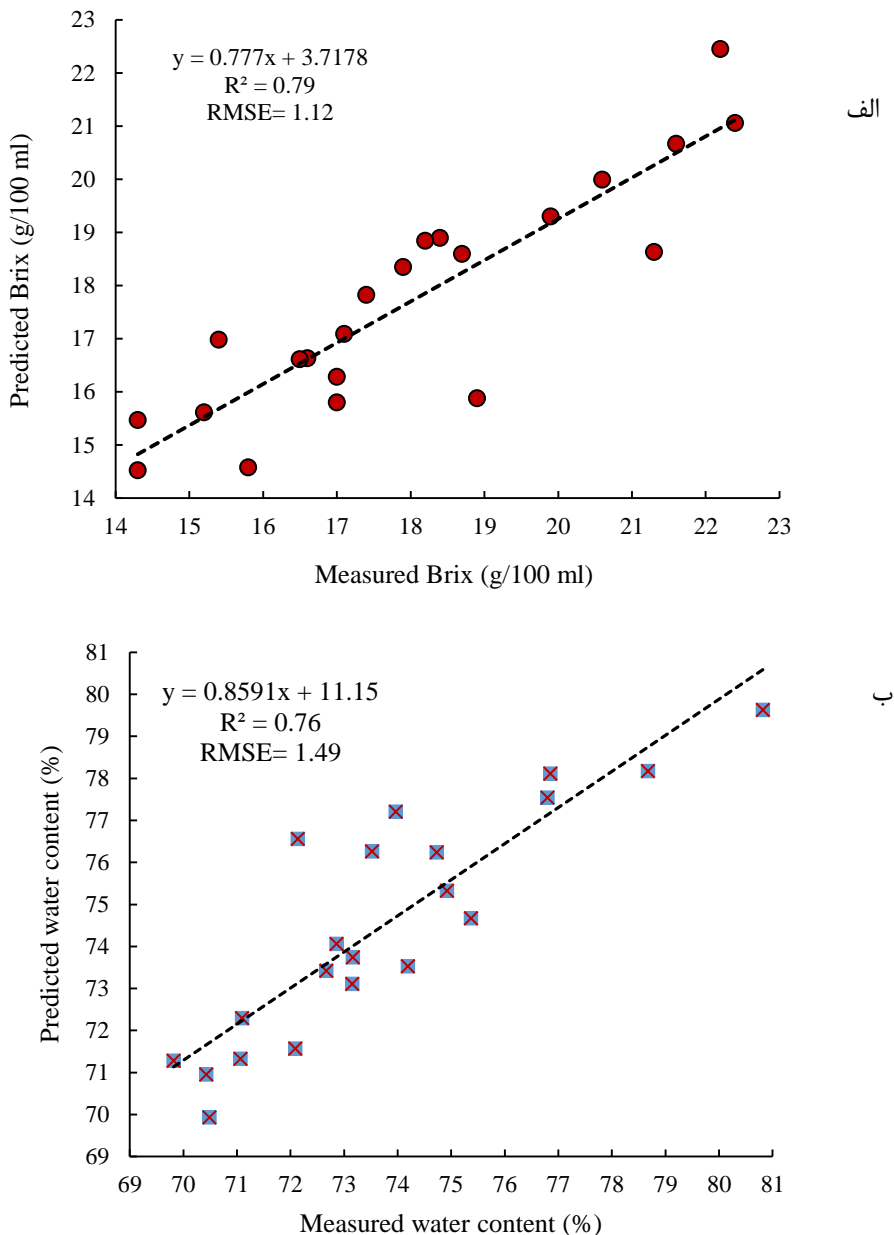
**Table 2-** The calibration and validation accuracy of PLS regression models for predicting Brix and moisture content in sugarcane using Vis-SWNIR spectral data

پیش‌پردازش Pre- processing	بریکس Brix			محتوای رطوبت Moisture content				
	کالیبراسیون Calibration		اعتبارسنجی متقاطع یگانه Leave-one-out cross validation	کالیبراسیون Calibration		اعتبارسنجی متقاطع یگانه Leave-one-out cross validation		
	$R^2_c$	RMSEC	$R^2_{cv}$	RMSECV	$R^2_c$	RMSEC	$R^2_{cv}$	RMSECV
Raw	0.91	0.677	0.75	1.173	0.94	0.675	0.70	1.575
BC	0.95	0.52	0.75	1.191	0.92	0.795	0.67	1.645
MA	0.91	0.693	0.73	1.228	0.89	0.942	0.67	1.643
MSC	<b>0.97</b>	<b>0.381</b>	<b>0.77</b>	<b>1.136</b>	0.96	0.579	0.71	1.568
SNV	0.96	0.579	0.71	1.568	<b>0.97</b>	<b>0.457</b>	<b>0.73</b>	<b>1.500</b>
SG	0.91	0.691	0.74	1.214	0.91	0.833	0.69	1.606
D1	0.94	0.731	0.73	1.231	0.94	0.693	0.69	1.607
MSC+SG+D1	0.96	0.459	0.74	1.196	0.92	0.812	0.68	1.628

**جدول ۳**- نتایج اعتبارسنجی بهترین مدل‌های PLS در پیش‌بینی مقدار بریکس و محتوای رطوبتی با داده‌های طیفی Vis-SWNIR

**Table 3-** The prediction accuracy of the top performing PLS models using Vis-SWNIR spectral data

متغیر Variable	پیش‌پردازش Pre-processing	$R^2_p$	RMSEP	LV
بریکس Brix (g/100 ml)	MSC	0.79	1.12	11
محتوای رطوبتی Moisture content (%)	SNV	0.76	1.49	12



**شکل ۶**- نتایج اعتبارسنجی مدل‌های PLS برای (الف) مقدار بریکس و (ب) محتوای رطوبتی با استفاده از داده‌های طیفی Vis-NIR  
**Fig.7.** The validation results for PLS models of a) Brix, and b) Moisture content using the Vis-NIR spectral data

۱۷ نمون در لایه مخفی به عنوان بهترین شبکه در پیش‌بینی محتوای رطوبت با خطای ۱/۵۶ انتخاب شد. نتایج نشان می‌دهد که شبکه عصبی نتوانسته نتایج بهتری در مقایسه با روش رگرسیونی PLS ارائه دهد.

جدول ۴ نتایج ارزیابی دو نوع شبکه عصبی مصنوعی MLP و CFBP به منظور پیشگویی درصد محتوای رطوبت و بریکس نمونه‌ها را نشان می‌دهد. در پیش‌بینی بریکس، شبکه عصبی CFBP با ۲۰ نمون در لایه‌های مخفی کمترین مقدار خطأ (۱/۳۸) و بالاترین ضریب تبیین (۰/۷۱) را به دست داد. همچنین شبکه عصبی MLP با

**جدول ۴**- نتایج اعتبارسنجی بهترین شبکه‌های عصبی در پیش‌بینی بریکس و محتوای رطوبتی با استفاده از داده‌های طیف‌سنجی**Table 4-** The validation results for the top performing neural networks in predicting Brix and water content using Vis-NIR spectral data

متغیر Variable	نوع شبکه Network type	الگوریتم آموزش Training algorithm	تابع فعالیت Function	تعداد نرون لایه مخفی The number of neurons in the hidden layer	RMSE	R <sup>2</sup>
بریکس Brix (g/100 ml)	CFBP	LM	Logsig	20	1.38	0.71
محتوای رطوبتی Water content (%)	MLP	LM	Logsig	17	1.56	0.74

در پیش‌بینی محتوای رطوبتی داده‌های طیف‌سنجی دی‌الکتریک به دست آمد. دقت حسگر دی‌الکتریک توسعه داده شده در این مطالعه از نتایج [Naderi-Boldaji et al., \(2015\)](#) برای اندازه‌گیری بریکس گزارش نمودند به مراتب کمتر است. این اختلاف می‌تواند به دلیل تفاوت در شکل پرایم باشد که نیازمند بهینه‌سازی در مطالعات آینده می‌باشد.

**نتایج پیش‌بینی روش طیف‌سنجی دی‌الکتریک**

به منظور حذف نویز از طیف‌های دی‌الکتریک از هموارسازی با استفاده از فیلتر ساویتزکی-گولای استفاده شد. نتایج مدل‌های به دست آمده با استفاده از روش رگرسیونی PLS با استفاده از طیف‌های دی‌الکتریک در جدول ۵ آورده شده است. دقت مدل به دست آمده در پیش‌بینی بریکس  $RMSEC = 1/12, R^2_c = 0/74$ ,  $RMSE_p = 1/84, R^2_p = 0/59$  و  $RMSE_{CV} = 1/32, R^2_{cv} = 0/66$

**جدول ۵**- نتایج مدل‌های PLS در پیش‌بینی مقدار بریکس و محتوای رطوبتی با استفاده از طیف‌های دی‌الکتریک**Table 5-** The accuracy of PLS models in predicting Brix and water content using dielectric spectra

متغیر Variable	R <sup>2</sup> <sub>c</sub>	RMSEC	R <sup>2</sup> <sub>cv</sub>	RMSECV	R <sup>2</sup> <sub>p</sub>	RMSEP	LV
بریکس Brix (g/100 ml)	0.74	1.13	0.66	1.32	0.59	1.84	10
محتوای رطوبتی Water content (%)	0.63	1.75	0.53	2.04	0.66	1.65	10

مارکوارت و تابع فعال‌ساز لگاریتمی، در بین سایر شبکه‌های عصبی و الگوریتم‌های آموزشی، بهترین نتایج را در پیش‌بینی هر دو پارامتر دارا می‌باشد هرچند به طور کلی از دقت بالایی نسبت به روش رگرسیون PLS برخوردار نمی‌باشد.

نتایج شبکه‌های عصبی در مدل‌سازی داده‌های حسگر دی‌الکتریک به منظور پیش‌بینی درصد محتوای رطوبتی و بریکس ساقه‌های نیشکر در جدول ۶ گزارش شده است. همان‌طور که مشاهده می‌شود شبکه عصبی CFBP با الگوریتم آموزش لونبرگ-

**جدول ۶**- نتایج اعتبارسنجی بهترین شبکه‌های عصبی در پیش‌بینی بریکس و محتوای رطوبتی با استفاده از طیف‌های دی‌الکتریک**Table 6-** The validation results for the top performing neural networks in predicting Brix and water content using dielectric spectra

متغیر Variable	نوع شبکه Network type	الگوریتم آموزش Training algorithm	تابع فعالیت Function	تعداد نرون لایه مخفی The number of neurons in the hidden layer	RMSE	R <sup>2</sup>
(g/100 ml) Brix (g/100 ml)	CFBP	LM	Logsig	18	2.09	0.51
محتوای رطوبتی (%) Water content (%)	CFBP	LM	Logsig	21	1.86	0.56

### تلقیق داده‌ها

حاکی از بیبود قابل توجه دقت مدل‌های PLS حاصل در پیش‌بینی مقدار بریکس و محتوای رطوبت می‌باشد. همان‌طور که در جدول ۷ مشاهده می‌شود دقت این روش در پیش‌بینی بریکس  $R^2_c = 0.95$ ,  $RMSE_c = 0.92$ ,  $R^2_p = 0.92$ ,  $RMSE_p = 0.88$  و در پیش‌بینی محتوای رطوبت  $R^2_c = 0.92$ ,  $RMSE_c = 0.88$ ,  $R^2_p = 0.92$ ,  $RMSE_p = 0.93$ , حاصل شد. همچنین نتایج صحبت‌سنجی مدل‌های مذکور ممید دقت بسیار مطوب‌تر مدل‌های به دست آمده نسبت به روش تلقیق سطح پایین می‌باشد طوری که برای مدل توصیف‌کننده بریکس مقادیر  $R^2_c = 0.94$ ,  $RMSE_c = 0.74$  و برای محتوای رطوبت  $R^2_p = 0.94$ ,  $RMSE_p = 0.74$  حاصل شد. مقادیر پیش‌بینی شده بریکس و رطوبت در مقابل مقادیر اندازه‌گیری شده به دست آمده با استفاده از روش تلقیق داده سطح متوسط در شکل ۷ نشان داده شده است.

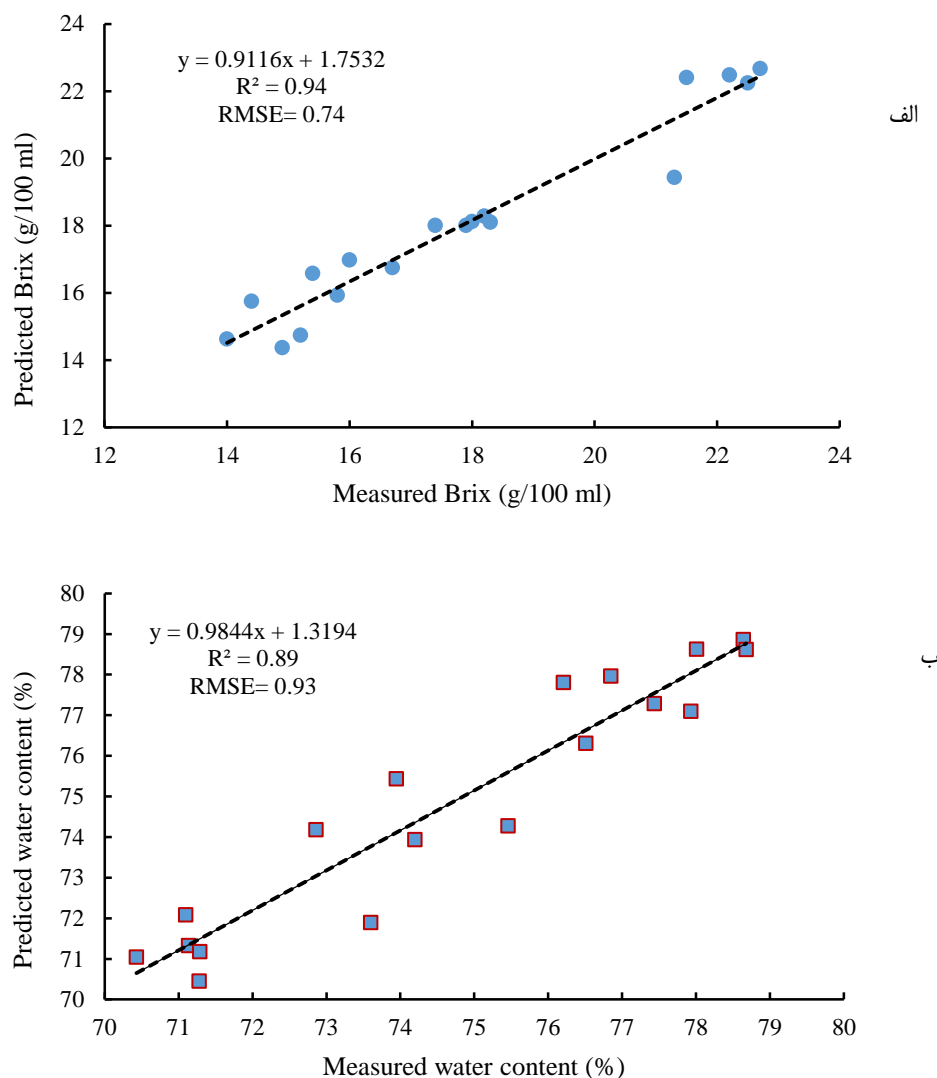
دقت حاصل با مدل‌های تلقیق داده برای پیش‌بینی بریکس در مقایسه با مطالعات انجام‌شده صرفاً با روش NIR نتیجه مطلوبی است. با این حال برخی منابع خطأ در اندازه‌گیری بریکس مرجع می‌تواند عامل کاهش دقت باشد. برای مثال در روش استاندارد آزمایشگاهی برای اندازه‌گیری بریکس از استات سرب برای شفافیت نمونه قبل از اندازه‌گیری با رفرکتومتر استفاده می‌شود در حالی که در مطالعه حاضر عصاره استخراج شده فقط با کاغذ صافی و بدون استفاده از هرگونه ماده شیمیایی تهییه شد.

در این مطالعه قابلیت دو روش تلقیق داده سطح پایین و سطح متوسط در پیش‌بینی مقادیر بریکس و محتوای رطوبت نمونه‌های نیشکر مورد بررسی قرار گرفت. در تلقیق داده سطح پایین، داده‌های به دست آمده از روش NIR و دی‌الکتریک پس از پیش‌پردازش، در یک ماتریس واحد با روش رگرسیون PLS تحلیل شد. با توجه به این که در تحلیل داده‌های NIR دو روش پیش‌پردازش MSC و SNV به ترتیب در پیش‌بینی بریکس و محتوای رطوبت بهترین نتایج را نشان دادند، در این قسمت نیز از داده‌های پیش‌پردازش شده با این دو روش استفاده شد. نتایج مدل‌های حاصل از تلقیق داده‌ها در سطح پایین در جدول ۷ نشان داده شده است. دقت مدل‌ها برای پیش‌بینی  $1/4$ ,  $R^2_{cv} = 0.65$ ,  $RMSE_c = 1.07$ ,  $R^2_p = 0.79$ ,  $RMSE_p = 1.27$  و  $RMSE_{cv} = 0.65$ ,  $R^2_{cv} = 0.95$ ,  $RMSE_c = 0.92$ ,  $R^2_p = 0.92$ ,  $RMSE_p = 0.92$  به دست آمد. این نتایج نشان می‌دهد که دقت مدل‌های PLS به دست آمده از تلقیق داده سطح پایین نسبت به مدل‌های مشابه در تحلیل‌های جداگانه برای روش‌های NIR و دی‌الکتریک کاهش پیدا کرده است. در ادامه به منظور انجام تلقیق داده سطح متوسط از متغیرهای پنهانی مدل‌های PLS منتخب به عنوان ورودی مدل استفاده شد. نتایج به دست آمده

**جدول ۷**- نتایج مدل‌های PLS در پیش‌بینی مقدار بریکس و محتوای رطوبتی بر مبنای روش‌های تلقیق داده

**Table 7- Brix and water content prediction accuracy using PLS models with data fusion methods**

متغیر Variable	سطح تلقیق داده Data fusion level	$R^2_c$	$RMSE_c$	$R^2_{cv}$	$RMSE_{cv}$	$R^2_p$	$RMSE_p$	LV
بریکس Brix	پایین Low	0.79	1.07	0.65	1.4	0.65	1.27	6
بریکس Brix	متوسط Intermediate	0.95	0.92	0.92	0.66	0.94	0.74	5
محتوای رطوبت Water content	پایین Low	0.69	1.58	0.52	2.01	0.53	2.01	5
محتوای رطوبت Water content	متوسط Intermediate	0.88	1	0.77	1.17	0.89	0.93	4



شکل ۷- نتایج اعتبارسنجی مدل‌های PLS تلفیق داده سطح متوسط (الف) مقدار بریکس، (ب) محتوای رطوبتی

Fig.7. The validation results for PLS models with intermediate fusion level in predicting a) Brix and b) Water content

سپس توانایی روش‌های تلفیق داده در افزایش کارایی مدل‌های توصیف‌کننده بررسی شد. بهترین نتیجه برای هرکدام از روش‌های اندازه‌گیری دی‌الکتریک و طیف‌سنجی Vis-SWNIR خطاً اندازه‌گیری بریکس به ترتیب  $1/136$  و  $1/88$  را ارائه داد که نشان‌دهنده دقیق‌تر مطلوب‌تر روش Vis-SWNIR می‌باشد. با تلفیق دو روش در سطح متوسط، خطای اندازه‌گیری بریکس به  $1/74$  کاهش یافت که در مقایسه با نتایج دیگر مطالعات بهبود قابل توجهی است. براساس نتایج بدست‌آمده، سامانه اندازه‌گیری براساس تلفیق روش‌های طیف‌سنجی دی‌الکتریک و طیف‌سنجی Vis-SWNIR توانایی اندازه‌گیری مقادیر بریکس و محتوای رطوبت ساقه نیشکر را

### نتیجه‌گیری

در این مطالعه روش‌های طیف‌سنجی دی‌الکتریک و طیف‌سنجی بازتابی Vis-SWNIR برای اندازه‌گیری غیرمخرب مشخصه‌های کیفی نیشکر شامل غلظت قند (Brix) و محتوای رطوبت ساقه نیشکر مورد ارزیابی قرار گرفت. بهمنظور ایجاد مدل‌های توصیف‌کننده ویژگی‌های کیفی، روش‌های تحلیلی رگرسیونی PLS و شبکه عصبی مصنوعی مقایسه شد. در ابتدا مدل‌های پیش‌بینی با استفاده مستقیم و جداگانه از داده‌های حاصل از هرکدام از روش‌های طیف‌سنجی دی‌الکتریک و طیف‌سنجی Vis-SWNIR مورد بررسی قرار گرفت و

نمونه‌های نیشکر قدردانی می‌گردد.

## مشارکت نویسنده‌گان

محتبی نادری بله‌آجی: نظارت و مدیریت، مفهوم‌سازی، روش‌شناسی، اعتبارسنجی، ویرایش متن  
محتبی توحیدی: جمع‌آوری داده‌ها، پردازش داده‌ها، تحلیل آماری، استخراج و تهیه متن اولیه  
مهدی قاسمی ورنامخواستی: مشاوره فنی، مفهوم‌سازی، ویرایش متن

دارد. با توجه به اهمیت اندازه‌گیری خصوصیات کیفی نیشکر در طول مراحل رشد و داشت آن، این تحقیق می‌تواند در توسعه یک حسگر ترکیبی قابل حمل به منظور تشخیص سریع و غیرمخرب پارامترهای کیفی این محصول نقش به سزایی داشته باشد.

## سپاسگزاری

این مقاله مستخرج از نتایج طرح تحقیقاتی اجرا شده به شماره گرنت 0GRD34M1614 از محل اعتبارات معاونت پژوهش و فناوری دانشگاه شهرکرد می‌باشد. از حمایت مالی دانشگاه شهرکرد برای اجرای این طرح قدردانی می‌گردد. همچنین از پشتیبانی شرکت کشت و صنعت نیشکر امیرکبیر خوزستان برای تهیه و ارسال

## References

- Aldeza, C. G., Botella, M., Toldr, P., & Fito, P. (2010). Low frequency dielectric spectrum to determine pork meat quality. *Innovative Food Science and Emerging Technologies*, 11(2), 376-386. <https://doi.org/10.1016/j.ifset.2010.01.011>
- Anonymous. (2018). Agriculture– Iran– Statistics: *Agriculture Agricultural census. 2016-2017*, 1, 47-48. (in Persian).
- Augusto, P., & Filho, C. (2009). Rapid determination of sucrose in chocolate mass using near infrared spectroscopy. *Analytica Chimica Acta*, 631, 206-211. <https://doi.org/10.1016/J.ACA.2008.10.049>
- Bahrami, M. E., Honarvar, M., Ansari, K., & Jamshidi, B. (2020). Measurement of quality parameters of sugarbeet juices using near-infrared spectroscopy and chemometrics. *Journal of Food Engineering*, 271, 109775. <https://doi.org/10.1016/j.jfoodeng.2019.109775>
- Bagherpour, H., Minaei, H., Abdollahian Noghabi, M., & Khorasani Fardvani, M. E. (2015). Non-destructive determination of sugar content in root beet by near infrared spectroscopy (NIRS). *Food Science and Technology*, 46(12), 219-228. (in Persian with English abstract).
- Biancolillo, A., Bucci, R., & Marini, F. (2014). Data-fusion for multiplatform characterization of an Italian craft beer aimed at its authentication. *Analytica Chimica Acta*, 820, 23-31. <https://doi.org/10.1016/j.aca.2014.02.024>
- Blakey, R. T., & Morales-Partera, A. M. (2016). Microwave dielectric spectroscopy– A versatile methodology for online, non-destructive food analysis, monitoring and process control. *Engineering in Agriculture, Environment and Food*, 9(3), 264-273. <https://doi.org/10.1016/j.eaef.2016.02.001>
- Bobelyn, E., Serban, A. S., Nicu, M., Lammertyn, J., Nicoli, B. M., & Saeys, W. (2010). Postharvest quality predicted by NIR-spectroscopy: Study of the effect of biological variability on spectra and model performance. *Postharvest Biology and Technology*, 55(3), 133-143. <https://doi.org/10.1016/j.postharvbio.2009.09.006>
- Borras, E., Ferre, J., Boque, R., Mestres, M., Acena, L., & Bustos, O. (2015). Data fusion methodologies for food and beverage authentication and quality assessment–A Review. *Analytica Chimica Acta*, 891(3), 1-14. <https://doi.org/10.1016/j.aca.2015.04.042>
- Castanedo, F. (2013). *A Review of Data Fusion Techniques*. Hindawi Publishing Corporation, 2013, 1-19.
- Chiatrakul, J., Terdwongworakul, A., Phuangsombut, K., & Phuangsombut, A. (2022). Improved evaluation of commercial cane sugar content in sugarcane stalk using near infrared hyperspectral imaging and stalk axis rotation technique. *Biosystems Engineering*, 223, 161-173. <https://doi.org/10.1016/j.biosystemseng.2022.08.019>
- Choi, J. H., Chen, P. A., Lee, B., & Yim, S. H. (2017). Portable, non-destructive tester integrating VIS/NIR reflectance spectroscopy for the detection of sugar content in Asian pears. *Scientia Horticulturae*, 220(16), 147-153. <https://doi.org/10.1016/j.scienta.2017.03.050>
- Cole, M. R., Eggleston, G., Gilbert, A., & Chung, Y. J. (2016). Development of an analytical method to measure insoluble and soluble starch in sugarcane and sweet sorghum products. *Food Chemistry*, 190, 50-59. <https://doi.org/10.1016/j.foodchem.2015.05.049>
- FAO. (2021). Food and Agricultural Organization of United Nations. Statistical Yearbook 2021. Rome. <https://doi.org/10.4060/cb4477en>
- Fazayeli, A., Kamgar, S., Nassiri, S. M., Fazayeli, H., & Guardia, M. D. L. (2019). Dielectric spectroscopy as a potential technique for prediction of kiwifruit quality indices during storage. *Information Processing in Agriculture*, 6(4), 479-486. <https://doi.org/10.1016/j.inpa.2019.02.002>
- Fu, X., Ying, Y., Lu, H., Xu, H., & Yu, H. (2007). FT-NIR diffuse reflectance spectroscopy for kiwifruit firmness detection. *Sensing and Instrumentation for Food Quality and Safety*, 1, 29-35. <https://doi.org/10.1007/s11694-007-0007-z>

## 9004-2

17. Gaci, B., Garcia, S. M., Abdelghafour, F., Adrian, J., Maupas, F., & Roger, J. M. (2022). Assessing the potential of a handheld visible-near infrared microspectrometer for sugar beet phenotyping. *Journal of Near Infrared Spectroscopy*, 30(3), 122-129. <https://doi.org/10.1177/09670335221083448>
18. Garcia, A., Torres, J. L., De Blas, M., De Francisco, A., & Illanes, R. (2004). Dielectric characteristics of grape juice and wine. *Journal of Biosystems Engineering*, 88(3), 343-349. <https://doi.org/10.1016/j.biosystemseng.2004.04.008>
19. Ghasemi-Varnamkhasti, M., Ghatreh-Samani, N., Naderi-Boldaji, M., Forina, M., & Bonyadian, M. (2017). Development of two dielectric sensors coupled with computational techniques for detecting milk adulteration. *Computers and Electronics in Agriculture*, 140, 266-278. <https://doi.org/10.1016/j.compag.2017.06.005>
20. Goodarzi, N., Movahhed, S., Shakouri, M. J., & Ahmadi Chenarbon, H. (2022). Feasibility of Visible/Near Infrared (Vis/NIR) Spectroscopy capability in classification of lemon samples during storage period by PCA, LDA and SVM identification methods. *Iranian Journal of Food Science and Technology*, 18, 335-352. <https://doi.org/10.52547/fsct.18.120.26>
21. Guo, W., Nelson, S. O., Trabelsi, S., & Kays, S. J. (2007). Dielectric properties of honeydew melons & correlation with quality. *Microwave Power & Electromagnetic Energy*, 41(2), 4454. <https://doi.org/10.1080/08327823.2006.11688556>
22. Guo, W., Zhu, X., Liu, Y., & Zhuang, H. (2010). Sugar and water contents of honey with dielectric property sensing. *Journal of Food Engineering*, 97(2), 275-281. <https://doi.org/10.1016/j.jfoodeng.2009.10.024>
23. Heise, H. M., & Winzen, R. (2006). *Chemometrics in Near-Infrared Spectroscopy*. In: Siesler, H. W., Ozaki, Y., Kawata, S. and Heise, H. M. (Eds.) *Near-Infrared Spectroscopy: Principles, Instruments, Applications*. 3rd Reprint. WileyVCH. Germany.
24. Hoog, N. A., Olthuis, W., Mayer, M. J. J., Yntema, D., Miedema, H., & van den Berg, A. (2012). Online fingerprinting of fluids using coaxial stub resonator technology. *Sensors and Actuators, B: Chemical*, 163(1), 90-96. <https://doi.org/10.1016/j.snb.2012.01.012>
25. Jamshidi, B., Minaei, S., Mohajerani, E., & Ghassemanian, H. (2012). Reflectance Vis/NIR spectroscopy for nondestructive taste characterization of Valencia oranges. *Computers and Electronics in Agriculture*, 85, 64-69. <https://doi.org/10.1016/j.compag.2012.03.008>
26. Jamshidi, B., Minaei, S., Mohajerani, E., & Ghassemanian, H. (2014). Effect of spectral pre-processing methods on non-destructive quality assessment of oranges using NIRS. *Journal of Agricultural Engineering Research*, 167, 264-271. (in Persian with English abstract). <https://doi.org/10.22092/JAER.2014.100188>
27. Korel, F., Luzuriaga, D., & Balaban, M. O. (2001). Objective quality assessment of raw tilapia (*Oreochromis niloticus*) fillets using electronic nose and machine vision. *Journal of Food Science*, 66(7), 1018-1024.
28. Lal Mathur, R. B. (1990). *Handbook of cane sugar technology*. Oxford & Ibh Publishing Co. India. pp:11.
29. Langford, V. S., McKinley, A. J., & Quickenden, T. I. (2001). Temperature Dependence of the Visible-Near-Infrared Absorption Spectrum of Liquid Water. *Journal of Physical Chemistry A*, 105, 8916-8921. <https://doi.org/10.1021/jp010093m>
30. Luzuriaga, D. A. (1999). Application of computer vision and electronic nose technologies for quality assessment of color and odor of shrimp and salmon. *PhD dissertation, Department of Food Science and Technology*, University of Florida, Gainesville, FL.
31. Magalhaes, P. S. G., & Cerri, D. G. P. (2007). Yield monitoring of sugar cane. *Biosystems Engineering*, 96(1), 1-6. <https://doi.org/10.1016/j.biosystemseng.2006.10.002>
32. Magwaza, L. S., Opara, U. L., Terry, L. A., Landahl, S., Cronje, P. J. R., Nieuwoudt, H. H., Hanssens, A., Saeys, W., & Nicolaï, B. M. (2013). Evaluation of Fourier transform-NIR spectroscopy for integrated external and internal quality assessment of Valencia oranges. *Journal of Food Composition and Analysis*, 31(1), 144-154. <https://doi.org/10.1016/j.jfca.2013.05.007>
33. Mehrotra, R., & Siesler, H. W. (2003). Application of mid infrared/near infrared spectroscopy in sugar industry. *Applied Spectroscopy Reviews*, 38(3), 307-354. <https://doi.org/10.1081/ASR-120024392>
34. Mireei, S. A., Mohtasebi, S. S., Masoodi, R., Rafiei, S. H., & Aravanian, A. S. (2010). Application of FT-NIR spectroscopy in nondestructive maturity determination of Shahani date fruit. *Iranian Journal of Biosystem Engineering*, 41(2), 113-120. (in Persian with English abstract).
35. Mireei, A., Bagheri, R., Sadeghi, M., & Shahraki, A. (2016). Developing an electronic portable device based on dielectric power spectroscopy for non-destructive prediction of date moisture content. *Sensors and Actuators A: Physical*, 247, 289-297. <https://doi.org/10.1016/j.sna.2016.06.012>
36. Moomkesh, S., Mireei, S. A., Sadeghi, M., & Nazeri, M. (2017). Non-destructive prediction of quality parameters of sweet lemon (*Citrus limetta*) by Vis-SWNIR spectroscopy. *Iranian Journal of Biosystems Engineering*, 47(4), 603-613. (in Persian with English abstract). <https://doi.org/10.22059/IJBSE.2017.61991>
37. Naderi-Boldaji, M., Fazelian-Dehkordi, M., Mireei, A., & Ghasemi-Varnamkhasti, M. (2015). Dielectric power spectroscopy as a potential technique for the non-destructive measurement of sugar concentration in sugarcane.

- Journal of Biosystems Engineering*, 140, 1-10. <https://doi.org/10.1016/j.biosystemseng.2015.09.003>
38. Naderi-Boldaji, M., Mishra, P., Ahmadpour-Samani, M., Ghasemi-Varnamkhasti, M., Ghanbarian, D., & Izadi, Z. (2018). Potential of two dielectric spectroscopy techniques and chemometric analyses for detection of adulteration in grape syrup. *Measurement*, 127, 518-524. <https://doi.org/10.1016/j.measurement.2018.06.015>
  39. Nawi, M. N., Chen, G., Jensen, T., & Mehdizadeh, S. A. (2013). Prediction and classification of sugar content of sugarcane based on skin scanning using visible and shortwave near infrared. *Biosystems Engineering*, 115(2), 151-161. <https://doi.org/10.1016/j.biosystemseng.2013.03.005>
  40. Nawi, N. M., Jensen, T., & Chen, G. (2012). The application of spectroscopic methods to predict sugarcane quality based on stalk cross-sectional scanning. *Journal of American Society of Sugar Cane Technologists*, 32, 16-27.
  41. Nelson, S. O. (2004). Agricultural applications of dielectric spectroscopy. *Journal of Microwave Power and Electromagnetic Energy*, 39(2), 75-85. <https://doi.org/10.1080/08327823.2004.11688510>
  42. Pan, L., Zhu, Q., Lu, R., & McGrath, J. M. (2015). Determination of sucrose content in sugar beet by portable visible and near-infrared spectroscopy. *Journal of Agriculture and Food Chemistry*, 167(15), 264-271. <https://doi.org/10.1016/j.foodchem.2014.06.117>
  43. Pandiselvam, R., Prithviraj, V., Manikantan, M. R., Kothakota, A., Rusu, A. V., Trif, M., & Khanegah, A. M. (2022). Recent advancements in NIR spectroscopy for assessing the quality and safety of horticultural products: A comprehensive review. *Frontiers in Nutrition*, 9, 973457. <https://doi.org/10.3389/fnut.2022.973457>
  44. Peirs, A., Lam mertyn, J., Ooms, K., & Nicolai, B. M. (2001). Prediction of the optimal picking date of different apple cultivars by means of VIS: NIR-spectroscopy. *Postharvest Biology and Technology*, 21(2), 189-199. [https://doi.org/10.1016/S0925-5214\(00\)00145-9](https://doi.org/10.1016/S0925-5214(00)00145-9)
  45. Rudnitskaya, A., Kirsanov, D., Legin, A., Beullens, K., Lammertyn, J., & Nicolaï, B. M. (2006). Analysis of apples varieties- Comparison of electronic tongue with different analytical techniques. *Sensors and Actuators B: Chemical*, 116(1-2), 23-28. <https://doi.org/10.1016/j.snb.2005.11.069>
  46. Sanaeifar, A., Jafari, A., & Golmakani, M. T. (2018). Fusion of dielectric spectroscopy and computer vision for quality characterization of olive oil during storage. *Computers and Electronics in Agriculture*, 145, 142-152. <https://doi.org/10.1016/j.compag.2017.12.035>
  47. Sirisomboon, P. (2018). NIR spectroscopy for quality evaluation of fruits and vegetables. *Materials Today: Proceedings*, 5(10), 22481-22486. <https://doi.org/10.1016/j.matpr.2018.06.619>
  48. Skierucha, W., Wilczek, A., & Szypowska, A. (2012). Dielectric spectroscopy in agrophysics. *International Agrophysics*, 26, 187-197. <https://doi.org/10.2478/v10247-012-0027-5>
  49. Soltani, M., Alimardani, R., & Omid, M. (2011). Evaluating banana ripening status from measuring dielectric properties. *Journal of Food Engineering*, 105(4), 625-631. <https://doi.org/10.1016/j.jfoodeng.2011.03.032>
  50. Xiaobo, Z., Jiewen, Z., Xingyi, H., & Yanxiao, L. (2007). Use of FT-NIR spectrometry in non-invasive measurements of soluble solid contents (SSC) of 'Fuji' apple based on different PLS models. *Chemometrics and Intelligent Laboratory Systems*, 87(1), 43-51. <https://doi.org/10.1016/j.chemolab.2006.09.003>